

Kapcsolóüzemű stabilizátorok analízise állapotegyenleteik átlagolásával

ETO 621.316.722.1:681.5.037

Az utóbbi időben sokféle módszer alakult ki a kapcsolóüzemű feszültségstabilizátorok vizsgálatára. A vizsgálat elsődleges célja rendszerint a statikus és dinamikus szabályozási paraméterek, valamint a visszacsatolt hurok stabilitási kritériumainak meghatározása.

Mivel mind a stabilizátor vezérlő egysége (az impulzus kitöltési tényező modulátor), mind a végfokozat erősen nemlineárisak, az analitikai eljárások általában igen bonyolultak és az eredmények csak nehezen értékelhetők. Kivételt képez az átlagolással nyert alacsony frekvenciás modellen alapuló módszer [1], amely szemléletessége mellett a gyakorlatban is jól alkalmazható.

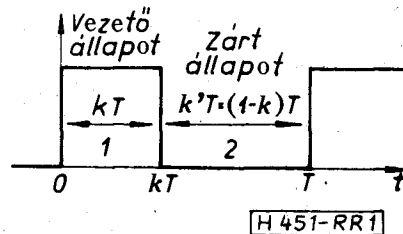
A diszkrét idejű állapotváltozós leírások és az átlagolt alacsony frekvenciás modell közti kapcsolatot teremti meg a [2] irodalom. Ez az [1]-ben ismertetett ekvivalens áramköri átalakítások helyett az állapotegyenletek közvetlen átlagolásával jut el a hálózatot leíró függvényekhez és az általános áramköri modellhez. Az állapotegyenletek átlagolása minden olyan esetben alkalmazható, ahol a periodikusan váltakozó struktúrájú hálózat állapotvektora szakaszonként lineárisnak és viszonylag kis ingadozásúnak tekinthető. Ily módon lehetővé válik a parazita hatások (veszteségi ellenállások, könyökfeszültségek) egyszerű figyelembevétele, és a jellemző paraméterek frekvenciafüggése is meglehetősen kis hibával meghatározható a működési frekvenciatartomány feléig.

A továbbiakban a módszer ismertetésével és a három stabilizátor alaptípus (feszültségcsökkentő, feszültségnövelő, polaritásváltó) ezen eljárás alapján történő analízisével foglalkozunk. A végfokozatok egyes elemeit két paraméteres helyettesítőképpel közelítve lényegesen pontosabb hálózatfüggvényeket kapunk az irodalomban [3, 4] eddig rendelkezésre állóknál.

A levezetett összefüggések a cikkben bemutatott kisjelű lineáris modellek segítségével a visszacsatolt stabilizátorok szabályozási tulajdonságainak számítására is alkalmasak. A zárt hurok stabilitási viszonyainak analizálására az átlagolt modell azonban csak közelítésként megfelelő.

1. Az állapotegyenletek átlagolása

Az induktív alkatrész fluxus-idő függvénye alapján a kapcsolóüzemű átalakító állandósult működésének két esetét lehet megkülönböztetni. Az egyik esetben a fluxus zérusnál mindig nagyobb, a másikban a periódusidő egy részében a fluxus zérusra csökken [4]. Az első üzemmódban a kapcsolóeszközök kihasználtsága (azaz a csúcs és átlagáram viszonya) lényegesen



1. ábra. A kapcsoló állása egy periódus alatt

jobb, mint a másodikban, ezért ez elterjedtebbnek is tekinthető. Bár speciális megfontolások (pl. a hurok stabilitási viszonyai [5]) indokolhatják az utóbbi módus alkalmazását is, mi a vizsgálatunkban az elsőre szorítkozunk.

Legyen T a periódusidő és vezessen a végfokozat kapcsolója kT ideig (1. ábra), legyen zárva $k'T = (1-k)T$ ideig. A végfokozat állapotvektorára az 1. intervallumban az

$$\dot{x} = A_1 x + B_1 u \quad (1)$$

lineáris vektor-differenciálegyenlet érvényes. Ugyanígy a 2. intervallumban:

$$\dot{x} = A_2 x + B_2 u \quad (2)$$

A fenti egyenletekben A_1, A_2 a hálózat leíró mátrixai, B_1, B_2 a külső gerjesztések hatását jellemző mátrixok, x az állapotvektor, u a külső gerjesztések vektora. A két energiatárolót (L és C) tartalmazó kapcsolóüzemű átalakítók esetében az állapotvektort az induktivitás árama és a kapacitás feszültsége alkotja. A külső gerjesztések u vektora a bemenő feszültségből, a kapcsolóeszközök könyökfeszültségeiből és a terhelés feszültségfüggetlen áramából áll. A v kimenő paraméter (feszültségstabilizátoroknál a kimeneti feszültség) az állapotvektor és a gerjesztő vektor lineáris kombinációjával adható meg.

Az 1. intervallumban

$$v_1 = C_1^T x + D_1^T u; \quad (3)$$

a 2. intervallumban

$$v_2 = C_2^T x + D_2^T u \quad (4)$$

ahol C_1, C_2, D_1, D_2 az állapotváltozók, illetve a gerjesztések és a kimenő jel közti kapcsolatot leíró vektorok. Ha az állapotvektor valamelyik komponense (pl. a kimeneti szűrőkondenzátor feszültsége) azonos v -vel, akkor természetesen nincs szükség a (3) és (4) egyenletekre. A kondenzátorok soros veszteségi ellenállása miatt azonban fizikailag pontos modelleknél az elterést figyelembe kell venni.

A szakaszonként érvényes (1)–(4) állapotegyenletek helyett a vizsgált rendszer — bizonyos feltételek

teljesülése esetén — a következő (átlagolással nyert) állapotegyenlet-rendszerrel is jellemezhető:

$$\dot{\mathbf{x}} = \mathbf{A}\mathbf{x} + \mathbf{B}\mathbf{u} \quad (5)$$

és

$$v = \mathbf{C}^T\mathbf{x} + \mathbf{D}^T\mathbf{u} \quad (6)$$

ahol

$$\begin{aligned} \mathbf{A} &= k\mathbf{A}_1 + k'\mathbf{A}_2 \\ \mathbf{B} &= k\mathbf{B}_1 + k'\mathbf{B}_2 \\ \mathbf{C} &= k\mathbf{C}_1 + k'\mathbf{C}_2 \\ \mathbf{D} &= k\mathbf{D}_1 + k'\mathbf{D}_2 \end{aligned} \quad (7)$$

Az átlagolt egyenletek akkor írják jól le a rendszert, ha a homogén differenciálegyenletek $e^{\mathbf{A}t}$ átmeneti mátrixai [6] soruk első két tagjával közelíthetők a $(0; kT)$, illetve a $(kT; T)$ intervallumokban, azaz

$$e^{k\mathbf{A}_1 t} \cong \mathbf{I} + k\mathbf{A}_1 t$$

és

$$e^{k'\mathbf{A}_2 t} \cong \mathbf{I} + k'\mathbf{A}_2 t \quad (8)$$

ahol \mathbf{I} az egységmátrix.

Ez mindig teljesül, ha a stabilizátor gyakorlati szempontból megfelelően működik (kis veszteségekkel és az állapotváltozók kis ingadozásaival). A részletes bizonyítást [2] tartalmazza.

2. A szabályozási jellemzők meghatározása

Az (5) és (6) egyenletek már nem egy kapcsolt, hanem egy folytonos rendszer állapotegyenletei. Segítségükkel azonban a kapcsolt rendszer tulajdonosságai is számíthatók abban a frekvenciatarományban, ahol az átlagolásnak fizikailag még van értelme. Az elvi határ a mintavételi tételeknek megfelelően a működési frekvencia fele.

A számításokhoz tételezzük fel, hogy a külső gerjesztés \mathbf{u} vektora és a k kitöltési tényező állandó és időben változó (váltó) komponensekre bonthatók. Azaz

$$\mathbf{u} = \mathbf{U} + \hat{\mathbf{u}} \quad (9)$$

és

$$k = K + \hat{k} \quad (10)$$

Ekkor az állapotvektorban és a kimenő jelben is fellelnek váltó összetevők:

$$\mathbf{x} = \mathbf{X} + \hat{\mathbf{x}} \quad (11)$$

és

$$v = V + \hat{v} \quad (11a)$$

Az állapotegyenletek a fenti jelölésekkel a következő formában írhatók fel:

$$\dot{\mathbf{X}} + \dot{\hat{\mathbf{x}}} = \mathbf{A}\mathbf{X} + \mathbf{B}\mathbf{U} + \mathbf{A}\hat{\mathbf{x}} + \mathbf{B}\hat{\mathbf{u}} + [(\mathbf{A}_1 - \mathbf{A}_2)\mathbf{X} + (\mathbf{B}_1 - \mathbf{B}_2)\mathbf{U}] \hat{k} + [(\mathbf{A}_1 - \mathbf{A}_2)\hat{\mathbf{x}} + (\mathbf{B}_1 - \mathbf{B}_2)\hat{\mathbf{u}}] \hat{k} \quad (12)$$

és

$$V + \hat{v} = \mathbf{C}^T\mathbf{X} + \mathbf{C}^T\hat{\mathbf{x}} + (\mathbf{C}_1 - \mathbf{C}_2)^T\mathbf{X}k + \mathbf{D}^T\mathbf{U} + (\mathbf{D}_1 - \mathbf{D}_2)^T\mathbf{U}\hat{k} + (\mathbf{C}_1 - \mathbf{C}_2)^T\hat{\mathbf{x}}\hat{k} + (\mathbf{D}_1 - \mathbf{D}_2)^T\hat{\mathbf{u}}\hat{k} \quad (13)$$

Ha a váltókomponensek amplitúdói jóval kisebbek az egyenkomponensek amplitúdóinál, a (12) és (13)

egyenletek jobb oldali utolsó tagjai — mint másodrendűen kicsiny mennyiségek — a többi tag mellett elhanyagolhatóvá válnak. Az állapotegyenletek ekkor az állandósult állapotban érvényes egyenáramú és kisjelű váltóáramú részegyenletekre bonthatók. Az állandósult állapotra

$$\mathbf{0} = \mathbf{A}\mathbf{X} + \mathbf{B}\mathbf{U} \quad (14)$$

és

$$V = \mathbf{C}^T\mathbf{X} + \mathbf{D}^T\mathbf{U} \quad (15)$$

összefüggések, a váltakozó jelekre az

$$\dot{\hat{\mathbf{x}}} = \mathbf{A}\hat{\mathbf{x}} + \mathbf{B}\hat{\mathbf{u}} + [(\mathbf{A}_1 - \mathbf{A}_2)\mathbf{X} + (\mathbf{B}_1 - \mathbf{B}_2)\mathbf{U}] \hat{k} \quad (16)$$

és

$$\hat{v} = \mathbf{C}^T\hat{\mathbf{x}} + \mathbf{D}^T\hat{\mathbf{u}} + (\mathbf{C}_1 - \mathbf{C}_2)^T\mathbf{X}k + (\mathbf{D}_1 - \mathbf{D}_2)^T\mathbf{U}\hat{k} \quad (17)$$

összefüggések igazak.

(14) és (15) alapján az állandósult állapotvektort, illetve kimenő jelet az

$$\mathbf{X} = -\mathbf{A}^{-1}\mathbf{B}\mathbf{U} \quad (18)$$

$$V = -\mathbf{C}^T\mathbf{A}^{-1}\mathbf{B}\mathbf{U} + \mathbf{D}^T\mathbf{U} \quad (19)$$

egyenletek adják.

A frekvenciafüggés a (16), (17) kifejezések Laplace transformációjával határozható meg:

$$\hat{\mathbf{x}}(p) = (p\mathbf{I} - \mathbf{A})^{-1}\hat{\mathbf{u}}(p) + (p\mathbf{I} - \mathbf{A})^{-1}[(\mathbf{A}_1 - \mathbf{A}_2)\mathbf{X} + (\mathbf{B}_1 - \mathbf{B}_2)\mathbf{U}] \hat{k}(p) \quad (20)$$

$$\hat{v}(p) = \mathbf{C}^T\hat{\mathbf{x}}(p) + \mathbf{D}^T\hat{\mathbf{u}}(p) + (\mathbf{C}_1 - \mathbf{C}_2)^T\mathbf{X}\hat{k}(p) + (\mathbf{D}_1 - \mathbf{D}_2)^T\mathbf{U}\hat{k}(p) \quad (21)$$

A (20) és (21) összefüggések már alkalmasak arra, hogy a bemeneti és kimeneti gerjesztésre kapott válasz, valamint a vezérlés követésének frekvenciame-netét kiszámítsuk. A vezérlésre jellemző átviteli függvény pl:

$$\frac{\hat{v}(p)}{\hat{k}(p)} = \mathbf{C}^T(p\mathbf{I} - \mathbf{A})^{-1}[(\mathbf{A}_1 - \mathbf{A}_2)\mathbf{X} + (\mathbf{B}_1 - \mathbf{B}_2)\mathbf{U}] + (\mathbf{C}_1 - \mathbf{C}_2)^T\mathbf{X} + (\mathbf{D}_1 - \mathbf{D}_2)^T\mathbf{U} \quad (22)$$

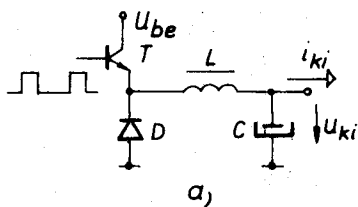
Hasonlóképpen a gerjesztő vektor és a kimeneti jel közti kapcsolatot:

$$\hat{v}(p) = \mathbf{C}^T(p\mathbf{I} - \mathbf{A})^{-1}\mathbf{B}\hat{\mathbf{u}}(p) + \mathbf{D}^T\hat{\mathbf{u}}(p) \quad (23)$$

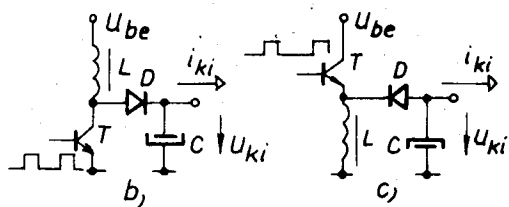
amiből a gerjesztő vektor egyes elemeire vonatkozó átviteli függvények adódnak (pl. tápfeszültség-ellenállás, kimenő impedancia stb.)

3. Mátrix- és vektorelemek

A 2. ábrán látható a három stabilizátor alaptípus (a feszültségcsökkentő, a feszültségnövelő és a polaritásváltó) kapcsolási rajza. A kapcsolások egyes elemeinek (a gyakorlat számára általában megfelelő) helyettesítőképeit a 3. ábra tünteti fel. Zárt állapotban mind a kapcsolótranszisztor, mind a dióda szakadásnak tekinthető, vezető állapotban pedig egy telep és egy ellenállás soros eredőjével modellezhető. A tranzisztor esetében az R_s és az U_s paraméterek a bázisoldali meghajtási viszonyoktól is függenek. Az



a)

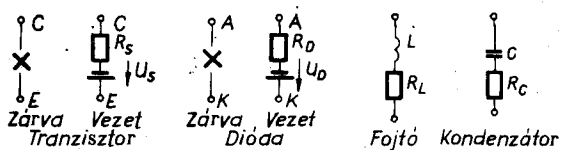


b)

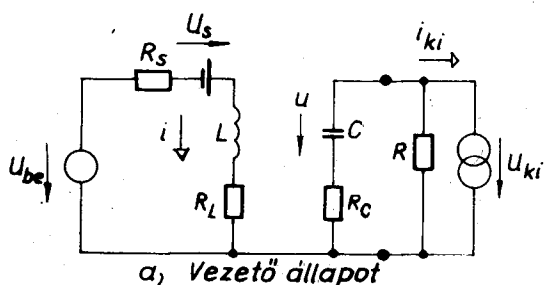
c)

H 451-RR-2

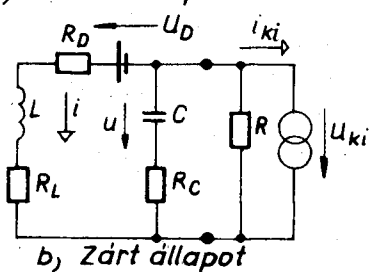
2. ábra. Kapcsoló stabilizátor alaptípusok



3. ábra. Az áramköri elemek helyettesítő képei



a) Vezető állapot



b) Zárt állapot

H 451-RR4

4. ábra. Polaritásváltó helyettesítő áramkörei

alapkapsolásokban szereplő fojtó ohmos ellenállása és az esetleges egyéb soros ellenállások (pl. áramérző) eredője R_L . A szűrőkondenzátornál a soros veszteségi ellenállás (R_c) rendszerint nem hanyagolható el, a soros induktivitás azonban igen.

A hálózatra jellemző mátrixok és vektorok **A**, **B**, **C**, **D** elemeinek meghatározását a polaritásváltó kapcsoláson (2c ábra) mutatjuk be. Az áramkörnek a vezető állapotra érvényes ekvivalens kapcsolását a 4a, a zárt állapotra vonatkozót pedig a 4b ábrán láthatjuk.

Az állapotváltozók: az induktivitás árama és a kapacitás feszültsége. A terhelést az R ellenállás és az i_{ki} forrásáramú generátor párhuzamos eredőjével

vesszük figyelembe. A feltüntetett mérőirányok mellett az állapotegyenletek a következők:

– vezető állapotban

$$\frac{di}{dt} = -\frac{R_s + R_L}{L} i + \frac{u_{be}}{L} - \frac{U_s}{L} \quad (24)$$

$$\frac{du}{dt} = -\frac{u}{(R + R_c)C} - \frac{R}{(R + R_c)C} i_{ki} \quad (25)$$

$$v = u_{ki} = u \frac{R}{R + R_c} - (R \times R_c) i_{ki} \quad (26)$$

– zárt állapotban

$$\frac{di}{dt} = -\frac{R_L + R_D + R \times R_c}{L} i + \frac{R}{(R + R_c)L} u - \frac{U_D}{L} - \frac{R \times R_c}{L} i_{ki} \quad (27)$$

$$\frac{du}{dt} = -\frac{R}{(R + R_c)C} i - \frac{u}{(R + R_c)C} - \frac{R}{(R + R_c)C} i_{ki} \quad (28)$$

$$u_{ki} = -(R \times R_c) i + \frac{R}{R + R_c} u - (R \times R_c) i_{ki} \quad (29)$$

A (24)–(29) egyenletekből a (7) definíció-sor alapján az átlagolt mátrixok és vektorok:

$$A = \begin{bmatrix} -\frac{1}{L} [R_L + kR_s + k'R_D + k'(R_c \times R)] - \frac{k'R}{(R + R_c)L} \\ -\frac{k'R}{(R + R_c)C} \\ -\frac{1}{(R + R_c)C} \end{bmatrix} \quad (30)$$

$$B = \begin{bmatrix} \frac{k}{L} & \frac{k}{L} & \frac{k'}{L} & \frac{k'(R \times R_c)}{L} \\ 0 & 0 & 0 & -\frac{R}{(R + R_c)C} \end{bmatrix} \quad (31)$$

$$C^T = \begin{bmatrix} -k'(R \times R_c) & -\frac{R}{R + R_c} \end{bmatrix} \quad (32)$$

$$D^T = [0 \quad 0 \quad 0 \quad -R \times R_c] \quad (33)$$

ahol az állapotváltozók vektora

$$x = \begin{bmatrix} i \\ u \end{bmatrix} \quad (34)$$

a gerjesztés vektora pedig

$$u = \begin{bmatrix} u_{be} \\ U_s \\ U_D \\ i_{ki} \end{bmatrix} \quad (35)$$

A 4. ábrához hasonlóan felrajzolható a másik két alapkapsolás (csökkentő, növelő) helyettesítőképe és meghatározhatók a hálózatjellemező mátrixok és vektorok is. Az eredményeket az 1. táblázat tartalmazza.

	A	B	C	D
Feszültségcsökkentő	$\begin{bmatrix} \frac{R_L + kR_s + k'R_D + R \times R_c}{L} & \frac{R}{(R + R_c)L} \\ \frac{R}{(R + R_c)C} & \frac{1}{(R + R_c)C} \end{bmatrix}$	$\begin{bmatrix} \frac{k}{L} & \frac{k}{L} & \frac{k'}{L} & \frac{R \times R_c}{L} \\ 0 & 0 & 0 & \frac{R}{(R + R_c)C} \end{bmatrix}$	$\begin{bmatrix} R \times R_c \\ R \\ R + R_c \end{bmatrix}$	$\begin{bmatrix} 0 \\ 0 \\ 0 \\ -(R \times R_c) \end{bmatrix}$
Feszültségnövelő	$\begin{bmatrix} \frac{R_L + kR_s + k'R_D + k'(R \times R_c)}{L} & \frac{k'R}{(R + R_c)L} \\ \frac{k'R}{(R + R_c)C} & \frac{1}{(R + R_c)C} \end{bmatrix}$	$\begin{bmatrix} \frac{1}{L} & \frac{k}{L} & \frac{k'}{L} & \frac{k'(R \times R_c)}{L} \\ 0 & 0 & 0 & \frac{R}{(R + R_c)C} \end{bmatrix}$	$\begin{bmatrix} k'(R \times R_c) \\ R \\ R + R_c \end{bmatrix}$	$\begin{bmatrix} 0 \\ 0 \\ 0 \\ -(R \times R_c) \end{bmatrix}$
Polaritásváltó	$\begin{bmatrix} \frac{R_L + kR_s + k'R_D + k'(R + R_c)}{L} & \frac{k'R}{(R + R_c)L} \\ \frac{k'R}{(R + R_c)C} & \frac{1}{(R + R_c)C} \end{bmatrix}$	$\begin{bmatrix} \frac{k}{L} & \frac{k}{L} & \frac{k'}{L} & \frac{k'(R \times R_c)}{L} \\ 0 & 0 & 0 & \frac{R}{(R + R_c)C} \end{bmatrix}$	$\begin{bmatrix} -k'(R \times R_c) \\ R \\ R + R_c \end{bmatrix}$	$\begin{bmatrix} 0 \\ 0 \\ 0 \\ -(R \times R_c) \end{bmatrix}$

4. Az alapkapcsolások statikus és dinamikus karakterisztikái

A kimenő feszültségek az 1. táblázat összefüggései alapján a (19) egyenlet segítségével számíthatók. A kifejezések az áramkörök reaktáns elemeitől függetlenek, mivel a (14) egyenletben a jobboldalon L és C csupán arányossági tényezők. Ennek megfelelően a kimeneti feszültségek értékét a generátorfeszültségek és -áramok, a veszteségi és terhelő ellenállások és a kitöltési tényező determinálják. Az eredményeket a 2. táblázatban összesítettük. Az irodalomból [4] már ismert eredményekhez viszonyítva egy kis eltérést tartalmaz a feszültségnövelő és a polaritásváltó kapcsolások statikus kimenő karakterisztikája: az ekvivalens veszteségben (R_v) ugyanis megjelenik a kondenzátor soros ellenállása.

A dinamikus (frekvenciafüggő) karakterisztikák közül a vezérlés átviteli függvénye a (22), a bemenő feszültség érzékenysége és a kimenő impedancia a (23) kifejezésekből számíthatók. A (22) egyenletben szereplő mátrix- és vektor differenciákat a 3. táblázatban tüntettük fel. A bemenő feszültség-érzékenységet (23) alapján a

$$\frac{\hat{v}(p)}{\hat{u}_{bc}(p)} = C^T(pI - A)^{-1} \begin{bmatrix} b_{11} \\ 0 \end{bmatrix} + d_1 \quad (36)$$

a kimenő impedanciát pedig a

$$Z_{ki}(p) = -\frac{\hat{v}(p)}{\hat{i}_{ki}(p)} = -C^T(pI - A)^{-1} \begin{bmatrix} 0 \\ b_{14} \end{bmatrix} - d_4 \quad (37)$$

összefüggések adják meg, ahol b_{11} és b_{14} a **B** mátrix, d_1 és d_4 a **D** vektor megfelelő elemei.

Kimenő karakterisztikák

	Kimenő feszültség	Veszteségi ellenállás
Feszültségcsökkentő	$u_{ki} = k u_{be} \frac{1 - \frac{U_s}{u_{be}} - \frac{k' U_D}{k u_{be}}}{1 + \frac{R_v}{R}} - i_{ki} \frac{R_v}{1 + \frac{R_v}{R}}$	$R_v = R_L + kR_s + k'R_D$
Feszültségnövelő	$u_{ki} = \frac{u_{be}}{k'} \frac{1 - k \frac{U_s}{u_{be}} - k' \frac{U_D}{u_{be}}}{1 + \frac{R_v}{R}} - i_{ki} \frac{R_v}{1 + \frac{R_v}{R}}$	$R_v = \frac{R_L + kR_s + k'R_D + k k'(R \times R_c)}{k'^2}$
Polaritásváltó	$u_{ki} = -\frac{k}{k'} u_{be} \frac{1 - \frac{U_s}{u_{be}} - \frac{k' U_D}{k u_{be}}}{1 + \frac{R_v}{R}} - i_{ki} \frac{R_v}{1 + \frac{R_v}{R}}$	$R_v = \frac{R_L + kR_s + k'R_D + k k'(R \times R_c)}{k'^2}$

A váltó modell mátrix és vektor különbségei

3. táblázat

	$A_1 - A_2$	$B_1 - B_2$	$C_1 - C_2$	$D_1 - D_2$
Feszültségcsökkentő	$\begin{bmatrix} -\frac{R_s - R_D}{L} & 0 \\ 0 & 0 \end{bmatrix}$	$\begin{bmatrix} \frac{1}{L} & -\frac{1}{L} & \frac{1}{L} & 0 \\ 0 & 0 & 0 & 0 \end{bmatrix}$	$\begin{bmatrix} 0 \\ 0 \end{bmatrix}$	$\begin{bmatrix} 0 \\ 0 \\ 0 \end{bmatrix}$
Feszültségnövelő	$\begin{bmatrix} \frac{R_s - R_D - (R \times R_c)}{L} & \frac{R}{(R + R_c)L} \\ \frac{R}{(R + R_c)C} & 0 \end{bmatrix}$	$\begin{bmatrix} 0 & -\frac{1}{L} & \frac{1}{L} & -\frac{R \times R_c}{L} \\ 0 & 0 & 0 & 0 \end{bmatrix}$	$\begin{bmatrix} -(R \times R_c) \\ 0 \end{bmatrix}$	$\begin{bmatrix} 0 \\ 0 \\ 0 \end{bmatrix}$
Polaritásváltó	$\begin{bmatrix} \frac{R_s - R_D - (R \times R_c)}{L} & \frac{R}{(R + R_c)L} \\ \frac{R}{(R + R_c)C} & 0 \end{bmatrix}$	$\begin{bmatrix} \frac{1}{L} & -\frac{1}{L} & \frac{1}{L} & \frac{R \times R_c}{L} \\ 0 & 0 & 0 & 0 \end{bmatrix}$	$\begin{bmatrix} R \times R_c \\ 0 \end{bmatrix}$	$\begin{bmatrix} 0 \\ 0 \\ 0 \end{bmatrix}$

A visszacsatolatlan áramkörök dinamikus jellemzői

4. táblázat

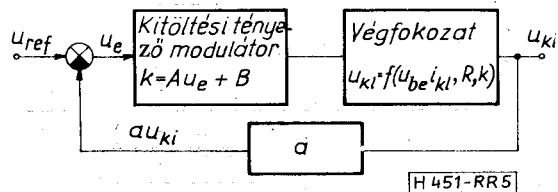
	$S_k(p) = \frac{\hat{u}_{ki}(p)}{\hat{k}(p)}$	$S_{be}(p) = \frac{\hat{u}_{ki}(p)}{\hat{u}_{be}(p)}$	$Z_{ki}(p) = -\frac{\hat{u}_{ki}(p)}{\hat{i}_{ki}(p)}$
Feszültségcsökkentő	$u_{be} \frac{1 + pR_cC}{1 + p\left[\frac{L}{R} + (R_v + R_c)C\right] + p^2LC}$	$K \frac{1 + pR_cC}{1 + p\left[\frac{L}{R} + (R_v + R_c)C\right] + p^2LC}$	$R_v \frac{(1 + pR_cC)\left(1 + p\frac{L}{R_v}\right)}{1 + p\left[\frac{L}{R} + (R_v + R_c)C\right] + p^2LC}$
Feszültségnövelő	$\frac{u_{be}}{K'^2} \frac{(1 + pR_cC)\left(1 - p\frac{L}{K'^2R}\right)}{1 + p\left[\frac{L}{K'^2R} + (R_v + R_c)C\right] + p^2\frac{LC}{K'^2}}$	$\frac{1}{K'} \frac{1 + pR_cC}{1 + p\left[\frac{L}{K'^2R} + (R_v + R_c)C\right] + p^2\frac{LC}{K'^2}}$	$R_v \frac{(1 + pR_cC)\left(1 + p\frac{L}{K'^2R_v}\right)}{1 + p\left[\frac{K}{K'^2R} + (R_v + R_c)C\right] + p^2\frac{LC}{K'^2}}$
Polaritásváltó	$\frac{u_{be}}{K'^2} \frac{(1 + pR_cC)\left(1 - p\frac{L}{K'^2R}\right)}{1 + p\left[\frac{L}{K'^2R} + (R_v + R_c)C\right] + p^2\frac{LC}{K'^2}}$	$\frac{K}{K'} \frac{1 + pR_cC}{1 + p\left[\frac{L}{K'^2R} + (R_v + R_c)C\right] + p^2\frac{LC}{K'^2}}$	$R_v \frac{(1 + pR_cC)\left(1 + p\frac{L}{K'^2R_v}\right)}{1 + p\left[\frac{L}{K'^2R} + (R_v + R_c)C\right] + p^2\frac{LC}{K'^2}}$

A dinamikus karakterisztikákat a 4. táblázat tartalmazza. A képletekben szereplő R_v az ekvivalens veszteségi ellenállás (ld. 2. táblázat), K pedig a nyugalmi kitöltési tényező. Érdeemes megfigyelni, hogy a feszültségnövelő és polaritásváltó végfokozatok törésponti frekvenciái a kitöltési tényező függvényei, a vezérlési karakterisztika számlálójában pedig ugyanezen esetekben egy pozitív valós gyök is fellép.

A statikus esetre vonatkozó blokkvázlat az 5. ábrán látható. A hibajelképző a referenciajel és a leosztott kimenő jel különbségével vezérli a kitöltési tényező modulátort. A modulátor rendszerint lineáris átvitelrel rendelkezik (azaz $k = Au_e + B$), bár ez nem feltétlenül előírás. A végfokozat által előállított egyenfeszültség a 2. táblázatban megadott módon függ a beme-

5. A visszacsatolás hatása

A 2. és 4. táblázat kifejezései egyaránt függvényei a kitöltési tényezőnek, így alkalmasak a visszacsatolt áramkör paramétereinek számítására is. Az előzőekhez hasonlóan a számításnál a statikus és dinamikus jellemzők meghatározását célszerű különválasztani.



5. ábra. Nagyjelű visszacsatolt modell

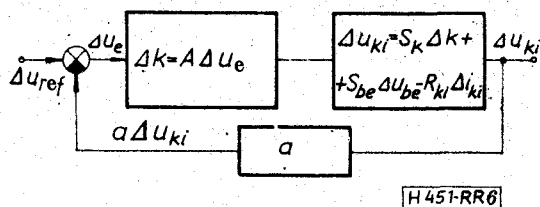
neti feszültségtől, a terheléstől, valamint a kitöltési tényezőtől.

A blokkvázlat alapján az

$$u_{ki} = f\{u_{be}; i_{ki}; R; k[A(U_{ref} - au_{ki}) + B]\} \quad (38)$$

egyenlet írható fel a kimenő feszültségre. Ez azonban gyakorlatilag nem alkalmas a visszacsatolt rendszer statikus állapotának számítására, mivel a kimenő feszültség a kitöltési tényezőnek viszonylag bonyolult függvénye. A függvényt ezért érdemes a statikus munkapont körül linearizálni és így számolni a visszacsatolt jellemzőket. A kis változásokra tehát a 6. ábrát tekinthetjük érvényesnek. Nem megy az általánosság rovására és célszerű egyszerűsítést jelent, ha a terhelés megváltozását csak az i_{ki} áram változásának tulajdonítjuk. Az S_k , S_{be} érzékenységekre és az R_{ki} kimenő ellenállásra is jóval egyszerűbb és áttekinthetőbb kifejezéseket kapunk, ha a terhelő ellenállást végtelennek tételezzük fel. Ezért a kimenő feszültség változását megadó teljes differenciából az $S_R \Delta R$ tagot elhagytuk.

A munkaponti kitöltési tényezőt a 2. táblázatban közölt összefüggésekből az $R \rightarrow \infty$ és $R_v \approx 0$ feltevésekkel becsülhetjük meg. Természetesen a körben fennálló ohmos veszteségek kissé módosítják a nyugalmi kitöltési tényező értékét, de jó hatásfokú átalakító esetén a módosulás első közelítésben elhanyagolható. Ha még azt is feltételezzük, hogy a visszacsatolt kör hurokerősítése sokkal nagyobb az egységénél, akkor a kimenő feszültség jó közelítéssel $\frac{U_{ref}}{a}$, s így már minden adatunk rendelkezésre áll a K nyugalmi kitöltési



6. ábra. Kiszjelű (linearizált) visszacsatolt modell

5. táblázat

A visszacsatolt stabilizátorok nyugalmi kitöltési tényezői

	Nyugalmi kitöltési tényező
Feszültségcsökkentő	$K = \frac{\frac{U_{ref}}{a} + U_D}{U_{be} + U_D - U_s}$
Feszültségnövelő	$K = \frac{\frac{U_{ref}}{a} - U_{be} + U_n}{\frac{U_{ref}}{a} - U_s + U_D}$
Polaritásváltó	$K = \frac{\frac{U_{ref}}{a} - U_D}{\frac{U_{ref}}{a} - U_{be} + U_s - U_D}$

A visszacsatolatlan áramkörök statikus jellemzői

6. táblázat

	$S_k = \frac{\partial U_{ki}}{\partial K}$	$S_{be} = \frac{\partial U_{ki}}{\partial U_{be}}$	$R_{ki} = -\frac{\partial U_{ki}}{\partial I_{ki}}$	U_x
Feszültségcsökkentő	$U_{be} - U_x$	K	R_v	$U_s - U_D + I_{ki}(R_s - R_D)$
Feszültségnövelő	$\frac{1}{K'^2} (U_{be} - U_x)$	$\frac{1}{K'}$	R_v	$U_s + I_{ki} \left(\frac{2R_L}{K} + \frac{2+K'}{K'} R_e + R_D + R_e \right)$
Polaritásváltó	$-\frac{1}{K'^2} (U_{be} - U_x)$	$-\frac{K}{K'}$	R_v	$U_s - I_{ki} \left(\frac{2R_L}{K'} + \frac{2+K'}{K'} R_s + R_D + R_e \right)$

A visszacsatolt stabilizátorok statikus jellemzői

7. táblázat

	$S_r^{vcs} = \left(\frac{\partial U_{ki}}{\partial U_{ref}} \right)^{vcs}$	$S_{be}^{vcs} = \left(\frac{\partial U_{ki}}{\partial U_{be}} \right)^{vcs}$	$R_{ki}^{vcs} = \left(-\frac{\partial U_{ki}}{\partial I_{ki}} \right)^{vcs}$
Feszültségcsökkentő	$\frac{A(U_{be} - U_x)}{1 + aA(U_{be} + U_x)}$	$\frac{K}{1 + aA(U_{be} - U_x)}$	$\frac{R_v}{1 + aA(U_{be} - U_x)}$
Feszültségnövelő	$\frac{\frac{A(U_{be} - U_x)}{K'^2}}{1 + \frac{aA(U_{be} - U_x)}{K'^2}}$	$\frac{\frac{1}{K'}}{1 + \frac{aA(U_{be} - U_x)}{K'^2}}$	$\frac{R_v}{1 + \frac{aA(U_{be} + U_v)}{K'^2}}$
Polaritásváltó	$\frac{-\frac{A(U_{be} - U_x)}{K'^2}}{1 - \frac{aA(U_{be} - U_x)}{K'^2}}$	$\frac{-\frac{K}{K'}}{1 - \frac{aA(U_{be} - U_x)}{K'^2}}$	$\frac{R_v}{1 - \frac{aA(U_{be} - U_x)}{K'^2}}$

tényező számításához. Az eredményeket az 5. táblázat tartalmazza. K ismeretében a teljes differencia szorzótényezői (S_k, S_{be}, R_{ki}) a 2. táblázat kifejezéseiből parciális deriválással származtathatók (6. táblázat).

A 6. ábra alapján a visszacsatolt áramkörre érvényes hurokegyenlet a következő:

$$(\Delta U_{ref} - a \Delta u_{ki}) A S_k + \Delta u_{be} S_{be} - \Delta i_{ki} R_{ki} = \Delta u_{ki} \quad (39)$$

Átrendezve:

$$\Delta u_{ki} = \Delta U_{ref} \frac{A S_k}{1 + a A S_k} + \Delta u_{be} \frac{S_{be}}{1 + a A S_k} - \Delta i_{ki} \frac{R_{ki}}{1 + a A S_k} \quad (40)$$

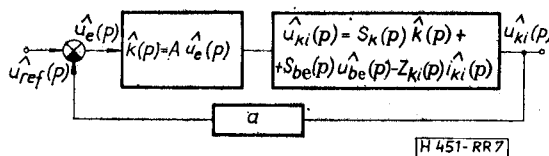
amiből a visszacsatolt kör statikus paraméterei meghatározhatók (7. táblázat).

A visszacsatolásnak a dinamikus paraméterekre gyakorolt hatását a 7. ábra segítségével vizsgálhatjuk. A (40) kifejezéssel analóg eredmény:

$$\hat{u}_{ki}(p) = \hat{u}_{ref}(p) \frac{A S_k(p)}{1 + a A S_k(p)} + \hat{u}_{be}(p) \frac{S_{be}(p)}{1 + a A S_k(p)} - \hat{i}_{ki}(p) \frac{Z_{ki}(p)}{1 + a A S_k(p)} \quad (41)$$

Az érzékenységek frekvenciafüggését a visszacsatolásmentes esetre a 4. táblázat tartalmazza. A visszacsatolt jellemzőket ezek figyelembevételével számolva a 8. táblázatban foglaltuk össze.

A számításokat az $R \rightarrow \infty$ és az $a A U_{be} = H \gg 1$ egyszerűsítő feltevésekkel végeztük. Mint az eredményekből látható, a visszacsatolt stabilizátorok jellemzőinek pólusfrekvenciái a nyugalmi kitöltési tényezőktől függetlenné váltak.



7. ábra. Kisjeltű visszacsatolt dinamikus modell

6. Hurokerősítés és stabilitás

Az alacsonyfrekvenciás átlagolt modell hurokerősítését az

$$Y(p) = a A S_k(p) \quad (42)$$

összefüggés adja meg. Ha a visszacsatoló ágban elhelyezett osztó leosztási tényezője (a) frekvenciafüggetlen, a hurokerősítés első vagy másodfokú számlálóval és másodfokú nevezővel rendelkező törtkifejezés lesz, amelynek stabilitásvizsgálata a szokásos módszerekkel (pl. Nyquist vagy Bode-kritérium) egyszerűen elvégezhető. A feszültségcsökkentő stabilizátor — a modell alapján — az egyenáramú erősítés értékétől függetlenül stabil, a másik két változatnál azonban instabilitás is felléphet. A gyakorlati tapasztalatok azt mutatják, hogy a (42) képlettel definiált hurokerősítés szerint még stabil áramkörök a valóságban gerjedékenyek. Ennek alapvető oka, hogy a körben fennálló késleltetések — elsősorban a kitöltési tényező modulátor késleltetése — járulékos fázistolást hoznak be. Az átlagolós módszer elvileg is meglevő pontatlansága [7] szintén hozzájárul az eltéréshez.

A feszültségcsökkentő stabilizátor és származék kapcsolásai elsősorban a kapcsoló frekvencia alharmonikusain hajlamosak az oszcillációra. Szerencsére

A visszacsatolt stabilizátorok dinamikus jellemzői

8. táblázat

	$S_r^{ves}(p) = \left(\frac{\hat{u}_{ki}(p)}{\hat{u}_{ref}(p)} \right)^{ves}$	$S_{be}^{ves}(p) = \left(\frac{\hat{u}_{ki}(p)}{\hat{u}_{be}(p)} \right)^{ves}$	$Z_{ki}^{ves}(p) = \left(-\frac{\hat{u}_{ki}(p)}{\hat{i}_{ki}(p)} \right)^{ves}$
Feszültség csökkentő	$\frac{1}{a} \frac{1 + pRC}{1 + \frac{p}{Q\omega_0} + \frac{p^2}{\omega_0^2}}$	$\frac{K}{H} \frac{1 + pR_eC}{1 + \frac{p}{Q\omega_0} + \frac{p^2}{\omega_0^2}}$	$\frac{R_v}{H} \frac{(1 + pR_eC) \left(i + p \frac{L}{R_v} \right)}{1 + \frac{p}{Q\omega_0} + \frac{p^2}{\omega_0^2}}$
Feszültségnövelő	$\frac{1}{a} \frac{1 + pR_eC}{1 + \frac{p}{Q\omega_0} + \frac{p^2}{\omega_0^2}}$	$\frac{K'}{H} \frac{1 + pR_eC}{1 + \frac{p}{Q\omega_0} + \frac{p^2}{\omega_0^2}}$	$\frac{R_v K'^2}{H} \frac{(1 + pR_eC) \left(1 + p \frac{L}{K'^2 R_v} \right)}{1 + \frac{p}{Q\omega_0} + \frac{p^2}{\omega_0^2}}$
Polaritásváltó	$\frac{1}{a} \frac{1 + pR_eC}{1 + \frac{p}{Q\omega_0} + \frac{p^2}{\omega_0^2}}$	$\frac{KK'}{H} \frac{1 + pR_eC}{1 + \frac{p}{Q\omega_0} + \frac{p^2}{\omega_0^2}}$	$\frac{R_v K'^2}{H} \frac{(1 + pR_eC) \left(1 + p \frac{L}{K'^2 R_v} \right)}{1 + \frac{p}{Q\omega_0} + \frac{p^2}{\omega_0^2}}$

$$H = a A U_{be} \quad Q = \frac{1}{\sqrt{H}} \sqrt{\frac{L}{C}} \frac{1}{R_0} \quad \omega_0 = \sqrt{\frac{H}{LC}}$$

az alharmonikus gerjedés ebben az esetben — a szélességmodulátort leíró függvényével figyelembe véve — viszonylag egyszerűen kézbentartható [8]. A másik két áramkörfajtára kidolgozott stabilitásvizsgálati módszerek közül csak az átlagolt modellena lapuló eljárás [9] nyújt viszonylag szemléletes képet.

7. Következtetések

Az állapotegyenletek átlagolása a kapcsolóüzemű stabilizátorok statikus és dinamikus leírására jól használható módszer. A legfontosabb üzemi paraméterek (bemenő feszültség érzékenység, referenciakövetés, kimenő impedancia) egyenáramú értékének és frekvenciafüggésének meghatározása visszacsatolatlan és visszacsatolt esetre egyaránt elvégezhető a módszer segítségével. A hurok stabilitási viszonyai az átlagolt modell alapján azonban csak közelítő pontossággal analizálhatók.

I R O D A L O M

[1] G. W. Wester, R. D. Middlebrook: Low-Frequency Characterization of Switched dc—dc Converters. IEEE

Transactions on Aerospace and Electronic Systems, 1973. május, 376—385. old.

- [2] R. D. Middlebrook, S. Cuk: A General Unified Approach to Modelling Switching—Converter Power Stages. IEEE Power Electronics Specialists Conference Record, 1976. június, 18—34 old.
- [3] O. A. Kossov: Comparative Analysis of Chopper Voltage Regulators with LC Filter. IEEE Transactions on Magnetics, 1968. december 712—715. old.
- [4] Redl R.: Tranzisztoros kapcsolóüzemű feszültségstabilizátor alaptípusok vizsgálata. Híradástechnika, 1973. június, 173—177 old.
- [5] A. Capel, J. G. Ferrante, R. Prajoux: Dynamic Behaviour and Z—Transform Stability Analysis of DC/DC Regulators with a Non Linear P. W. M. Control Loop. IEEE Power Electronics Specialists Conference Record, 1973. június, 149—157 old.
- [6] Csáki F.: Korszerű szabályozásmélet. Akadémiai Kiadó, Bp. 1970. 1000—1001 old.
- [7] F. C. Lee, Y. Yu, J. E. Triner: Modelling of Switching Regulator Power Stages With and Without Zero — Inductor — Current Dwell Time. IEEE Power Electronics Specialists Conference Record, 1976. június, 62—76 old.
- [8] Bölskegy A.: Diplomaterv. BME Mikrohullámú Híradástechnikai Tanszék, 1976.
- [9] G. W. Wester: Linearized Stability Analysis and Design of a Flyback DC—DC Boost Regulator. IEEE Power Electronics Specialist Conference Record, 1973. június, 130—137 old.